

одновременно выражающим закон сохранения потока энергии. В таком представлении суммарный поток энергии высших волн с номерами $s \geq N+1$ выступает в виде потока энергии собственных колебаний пучка.

Численный расчет системы уравнений (1) производился для значения расстройки $\delta=0$, соответствующей равенству скорости инжекции пучка и фазовой скорости первой моды плазменного волновода. Пучок полагался ультррелятивистским ($\gamma_0 \gg 1$), его радиус равным $r_b=R/2$, учитывалось одновременное возбуждение трех первых волн плазменного волновода ($N=3$). Начальное значение амплитуды первой волны ($s=1$) полагалось равным $\varepsilon_{10}=0.05$, а двух других ($s=2, 3$) — нулю. Результаты расчетов представлены на рисунке (а — $\sim \nu J_0^2(\mu_1 r_b/R)/J_1^2(\mu_1)=2$; б — $\sim \nu J_0^2(\mu_1 r_b/R)/J_1^2(\mu_1)=5$), где приведены зависимости от координаты ζ относительных долей потоков энергии трех плазменных волн η_s (кривые 1, 2, 3 соответствуют номерам $s=1, 2, 3$), собственных колебаний пучка η_λ (кривые 4) и общих потерь кинетической энергии пучка η (кривые 5). В начале процесса взаимодействия потоки энергии всех трех волн нарастают одновременно, хотя в сечении $\zeta=0$ отлична от нуля амплитуда только первой волны. Потоки их энергии сравнимы по величине, а амплитуды волн с номерами $s=2, 3$ могут значительно превосходить амплитуду первой волны из-за их меньшей групповой скорости. Весьма заметной является также доля потока энергии собственных колебаний пучка, обусловленная возбуждением высших плазменных волн с номерами $s \geq N+1$. В отличие от результатов одноволновой теории [1, 2] с ростом тока пучка (параметра ν) не наблюдается быстрого ($\sim \nu^{-1}$) уменьшения относительных потерь его кинетической энергии η . Вместо этого проявляются тенденция к некоторому увеличению максимального значения η и соответственно рост потерь.

Соотношение между потоками энергии отдельных плазменных волн, а также величина общих потерь кинетической энергии пучка существенно определяются как радиусом пучка, так и расстройкой δ . Многоволновый характер взаимодействия сильноточного электронного пучка с плазмой имеет место в принципе при любой другой поперечной геометрии системы.

Список литературы

- [1] Кузелев М. В., Рухадзе А. А., Филиппычев Д. С. // Релятивистская высокочастотная электроника. Проблемы повышения мощности и частоты изучения / Под ред. А. В. Гапонова-Грехова. Горький, 1981. С. 170—203. Физика плазмы. 1982. Т. 8. № 3. С. 537—542.
- [2] Кузелев М. В., Панин В. А., Рухадзе А. А., Филиппычев Д. С. // Письма в ЖТФ. 1984. Т. 10. Вып. 4. С. 228—230. Физика плазмы. 1985. Т. 11. № 1. С. 104—108.
- [3] Карбушев Н. И. Физика плазмы. 1985. Т. 11. № 11. С. 1391—1397.

Поступило в Редакцию
8 марта 1989 г.

В окончательной редакции
26 сентября 1989 г.

О ПАРАМЕТРИЧЕСКОМ МЕХАНИЗМЕ ИЗЛУЧЕНИЯ БЫСТРЫХ ЗАРЯЖЕННЫХ ЧАСТИЦ В КРИСТАЛЛЕ

В. П. Лапко, Н. Н. Насонов

В связи с недавним экспериментальным обнаружением [1, 2] предсказанного ранее параметрического рентгеновского излучения (ПРИ) быстрой заряженной частицы в кристалле [3-6] актуальным становится детальный теоретический анализ этого явления. Используемый в настоящее время подход к описанию ПРИ (в рамках этого подхода кристалл характеризуется периодической в пространстве диэлектрической проницаемостью) позволяет учесть только когерентный коллективный отклик электронной подсистемы кристалла на электромагнитное поле движущегося в кристалле заряда. В настоящей работе показывается, что учет индивидуального отклика электронов кристалла приводит к возникновению допол-

ительного излучения резко отличающегося по спектрально-угловым характеристикам от ПРИ. По существу ниже рассматривается некогерентное поляризационное тормозное излучение быстрого заряда в кристалле (поляризационное излучение заряженной частицы на атоме активно изучается в настоящее время [7]).

Используя для простоты классический подход, будем описывать рентгеновское излучение быстрого заряда q , движущегося в моноатомном кристалле прямолинейно и равномерно со скоростью v_0 , системой уравнений

$$\begin{aligned} (k^2 - \omega^2) E_{k\omega} - k \cdot k E_{k\omega} = & - \frac{i\omega q}{2\pi^2} v_0 \delta(\omega - kv_0) - \\ & - \frac{i\omega e}{4\pi^3} \sum_n \sum_{i=1}^Z \exp[-ik(r_n + u_n)] \cdot \int dt v_{ni} \exp[i\omega t - ikr_{ni}], \\ \frac{dp_{ni}}{dt} = & -e \int d^3k d\omega \left\{ E_{k\omega} + \frac{1}{\omega} [v_{ni} [k E_{k\omega}]] \right\} \exp[ik(r_n + u_n + r_{ni}) - i\omega t], \end{aligned} \quad (1)$$

где r_n и u_n — положение равновесия и тепловое смещение n -го атома, r_{ni} — положение l -го электрона в n -ом атоме.

Рассматривая только далекие соударения, полагаем, как обычно $v_{ni} \ll 1$ (при этом $r_{ni} \approx \text{const}$). Ограничиваясь анализом случая слабого рассеяния поля заряда (соответствующие условия выполняются, например, при достаточно малой толщине кристалла или при достаточно малом угле ориентации скорости заряда v_0 относительно рассеивающей плоскости кристаллографической плоскости, когда «псевдофотонная туба» заряда находится вдали от условий брэгговского резонанса), решение уравнений (1) будем искать итерациями. В результате простых вычислений получаем следующее выражение для поля излучения:

$$\begin{aligned} E_{k\omega}^{ad} = & \frac{i\omega q}{2\pi^2 (k^2 - k_0^2)} \int \frac{d^3k'}{k'^2 - k_0^2} \left\{ \left[\frac{e^2}{2\pi^2 m} \sum_n \sum_{l=1}^Z \exp[-i(k - k')(r_n + u_n + r_{nl})] - \right. \right. \\ & \left. \left. - Z\omega_p^2 \delta(k - k') \right] \cdot \left(v_0 - k' \frac{(k' v_0)}{k'^2} \right) \cdot \delta(\omega - k' v_0) \right\}, \end{aligned} \quad (2)$$

где $k_0^2 = \omega^2 - Z\omega_p^2$, $\omega_p^2 = (4\pi e^2 n_0)/m$, n_0 — плотность атомов.

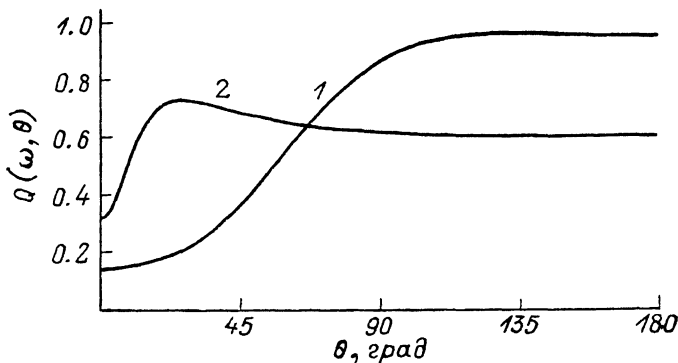
Усредняя следующее из (2) выражение для спектрально-углового распределения интенсивности излучения по тепловым колебаниям атомов и по положениям электронов в атомах, приходим к формуле

$$\begin{aligned} \frac{dI_{n\omega}}{d\omega d\Omega} = & \frac{dI_{n\omega}^{\text{coh}}}{d\omega d\Omega} + \frac{dI_{n\omega}^{\text{inc}}}{d\omega d\Omega}, \\ \frac{dI_{n\omega}^{\text{coh}}}{d\omega d\Omega} = & \frac{q^2 \omega^2 \omega_p^4}{2\pi} \sum_{g \neq 0} \frac{|f_A(g)|^2}{(k_g^2 - k_0^2)^2} \exp(-g^2 u_T^2) \left\{ v_0^2 - \frac{(k_g v_0)^2}{k_g^2} \right\} \delta(\omega - k_g v_0), \\ \frac{dI_{n\omega}^{\text{inc}}}{d\omega d\Omega} = & \frac{q^2 e^2 \omega^2 \omega_p^2}{4\pi^3 m} \int \frac{d^3\xi}{(k_\xi^2 - k_0^2)^2} \times \\ & \times \left\{ |f_A(\xi)|^2 (1 - \exp(-\xi^2 u_T^2)) + Z - \sum_{i=1}^Z |f_i(\xi)|^2 \right\} \times \\ & \times \left\{ v_0^2 - \frac{(k_\xi v_0)^2}{k_\xi^2} \right\} \delta(\omega - k_\xi v_0), \end{aligned} \quad (3)$$

где $k_g = k_0 n + g$, n — единичный вектор в направлении излучения, g — вектор обратной решетки, u_T — среднеквадратичное тепловое смещение атома, $f_A(g) = \sum_{i=1}^Z f_i(g)$, $f_i(g) = \int d^3r F_i(r) \exp(-igr)$, F_i — функция распределения l -го электрона в атоме.

Выражение для $(dI_{n\omega}^{\text{coh}})/(d\omega d\Omega)$ в (3) описывает обычное ПРИ и совпадает с полученным в [4].

При анализе интересующего нас дополнительного излучения, описываемого формулой для $(dI_{\text{н}\omega}^{\text{н}\omega})/(d\omega d\Omega)$ в (3), воспользуемся простейшей статистической моделью атома с экспоненциальной экранировкой (при этом $f_A(\xi) = Z(R^2/\xi^2 + R^2)$, R — радиус экранировки). В представляющем наибольший интерес случае ультрарелятивистского заряда



$$\sigma^2 = 2\omega^2 R^2 \left(\frac{\omega}{k_0 v_0} - 1 \right) \approx \frac{\omega^2 R^2}{\gamma_0^2} \left(1 + \frac{\gamma_0^2 \omega_p^2}{\omega^2} \right) \ll 1, \quad \gamma_0 = (1 - v_0^2)^{-1/2} \gg 1$$

из (3) получаем формулу

$$\frac{dI_{\text{н}\omega}^{\text{н}\omega}}{d\omega d\Omega} = \frac{q^2 Z^2 e^2 \omega_p^2}{4\pi^2 m} Q(\omega, \theta),$$

$$Q = \int_0^{\omega} dx \cdot F \cdot \Phi,$$

$$F = \frac{1 - \exp \left[-\frac{u_T^2}{R^2} \left(x + x^2 \operatorname{tg}^2 \frac{\theta}{2} \right) \right]}{\left(1 + x^2 \operatorname{tg}^2 \frac{\theta}{2} + x \right)^2} + \frac{1}{Z} \left(1 - \frac{1}{\left(1 + x^2 \operatorname{tg}^2 \frac{\theta}{2} + x \right)^2} \right),$$

$$\Phi = \frac{\sigma^2 (x + \sigma^2 + x^2)}{\left((x + \sigma^2 + x^2)^2 - 4x\sigma^2 \right)^{3/2}} + \frac{1}{\sqrt{(x + \sigma^2 + x^2)^2 - 4x\sigma^2}} - \frac{1}{\sqrt{(x + \omega^2 R^2 + x^2)^2 - 4x\sigma^2}}, \quad (4)$$

где $x^2 = \omega^2 R^2 \sin^2 \theta$, $pv_0 = v_0 \cos \theta$.

Не имея возможности в краткой заметке подробно исследовать свойства обсуждаемого излучения, ограничимся иллюстрацией угловой зависимости функции $Q(\omega, \theta)$. Кривые на рисунке, построенные для случая излучения электронов в кремнии при комнатной температуре и $\gamma_0 = 50$, $\omega^2 R^2 = 0.1$ (кривая 1) и $\omega^2 R^2 = 10$ (кривая 2), указывают на приблизительно изотропный характер рассматриваемого излучения, что резко отличает его от ПРИ, рефлекс которого имеют угловую ширину порядка γ_0^{-1} .

Список литературы

- [1] Адицев Ю. Н., Барышевский В. Г., Воробьев С. А. и др. // Письма в ЖЭТФ. 1985. Т. 41. Вып. 7. С. 295—297.
- [2] Адейшвили Д. И., Блажевич С. В., Болдышев В. Ф. и др. // Тез. докл. XVI Всесоюз. совещания по физике взаимодействия заряженных частиц с кристаллами. М., 1986. С. 80. ДАН СССР. 1988. Т. 298. № 3. С. 844—846.
- [3] Файнберг Я. Б., Хижняк Н. А. // ЖЭТФ. 1957. Т. 32. Вып. 4. С. 883—895.
- [4] Тер-Микаэлян М. Л. Автореф. докт. дис. М., 1961.
- [5] Гарибян Г. М., Ян Ши // ЖЭТФ. 1971. Т. 61. Вып. 3. С. 930—943.
- [6] Барышевский В. Г., Феранчук И. Д. // ЖЭТФ. 1971. Т. 61. Вып. 3. С. 944—948.
- [7] Амуся М. Я., Буймистров В. М., Зон Б. А. и др. Поляризационное тормозное излучение частиц и атомов. М.: Наука, 1987. 335 с.

Харьковский физико-технический институт АН УССР

Поступило в Редакцию
6 мая 1989 г.